À Rabat le 14 Mars 2026

Titre :

Unification des signaux par une équation maîtresse fondamentale

Chapitre 10 : Unification des signaux par une équation maîtresse fondamentale – Signatures, bifurcations et physique de l'origine dans le paradigme de Rachid ELAÏDI

Auteur : Rachid ELAÏDI
Affiliation : Chercheur Indépendant
Date : 14 Mars 2026

Résumé

Ce chapitre propose une synthèse unificatrice du paradigme de Rachid ELAÏDI. Nous introduisons une **équation maîtresse unique** – l'équation de propagation généralisée paramétrée – dont les solutions engendrent tous les types de signaux, des plus classiques (photons, ondes massives) aux plus exotiques (tachyons, signaux à bifurcation). Cette équation fait apparaître des constantes évolutives qui

déterminent la signature de chaque signal, signature qui est unique dans une base donnée mais peut se déployer en multiples trajectoires par changement de représentation (bifurcations). Nous montrons comment des signaux concrets comme ceux issus de systèmes physiques (atome de Néon, molécule d'eau) ou cosmologiques s'inscrivent dans ce cadre. Un tableau comparatif (TP_Rachid_ELAÏDI vs TP_classique) synthétise les propriétés. Enfin, nous analysons la dynamique des bifurcations et la décroissance de l'intensité depuis l'origine, reliant observations actuelles à l'histoire des signaux.

---

1. Introduction : À la recherche d'une équation fondamentale

La diversité des signaux observés dans la nature – ondes électromagnétiques, vibrations moléculaires, rayonnements cosmiques, voire hypothétiques ondes tachyons – suggère l'existence d'un principe générateur unique. Dans le cadre de l'**espace de Rachid ELAÏDI** E, nous postulons qu'il existe une **équation maîtresse** dont les solutions, paramétrées par des constantes évolutives, couvrent tous les cas. Cette équation, écrite dans l'espace-temps, se réduit, par projection sur une base de Schauder, à un système dynamique dans l'espace des signatures. La signature d'un signal est alors la suite de ses coefficients, et son évolution temporelle définit une **trajectoire** unique dans l'espace des phases. Les changements de base (ou de représentation) induisent des **bifurcations** : un même signal peut avoir plusieurs signatures, chacune correspondant à une perspective d'observation différente. Ce chapitre explicite cette vision unificatrice.

---

2. L'équation maîtresse fondamentale

Nous proposons l'équation aux dérivées partielles suivante, valable pour tout champ $\Psi(t,\mathbf{x})$ défini sur $\mathbb{R}^{1+d}$:

$$\Box\Psi+\alpha(t)\partial_t\Psi+\beta(t)\Psi+(\gamma*\Psi)(t,\mathbf{x})=0 \quad (1)$$

où :

- $\Box=\frac{1}{c^2}\partial_t^2-\Delta$ est le d'alembertien,
- $\alpha(t)$ est un coefficient d'amortissement dépendant du temps,
- $\beta(t)$ est un terme de masse généralisé (pouvant être complexe),
- $\gamma*\Psi$ désigne un produit de convolution spatio-temporel, modélisant des interactions non locales ou des effets de milieu,

- β est la vitesse limite de la lumière (mais nous verrons que des solutions supraluminiques émergent pour certaines valeurs de β).

Cette équation est **maîtresse** car elle contient, comme cas particuliers, toutes les équations classiques et exotiques :

Choix des paramètres	Équation résultante	Type de signal
$\alpha=0,\ \beta=0,\ \gamma=0$	$\Box\Psi=0$	Onde sans masse (photon)
$\alpha=0,\ \beta=m^2>0,\ \gamma=0$	$\Box\Psi+m^2\Psi=0$	Klein-Gordon (particule massive)
$\alpha=0,\ \beta=-\mu^2<0,\ \gamma=0$	$\Box\Psi-\mu^2\Psi=0$	Tachyon (supraluminique)
$\alpha>0,\ \beta=0,\ \gamma=0$	Équation des télégraphistes	Signal amorti
$\gamma\neq 0$	Équation avec mémoire	Milieux dispersifs

Ainsi, **l'équation (1) génère tous les signaux** de notre paradigme. Les constantes α,β,γ peuvent dépendre du temps, ce qui permet de modéliser des **bifurcations** : un changement brusque de ces paramètres (par exemple β passant de positif à négatif) fait basculer le signal d'un régime à un autre.

3. De l'équation maîtresse aux signatures

Dans l'espace de Rachid ELAÏDI E, muni d'une base de Schauder $\{\phi_n\}$, tout signal Ψ se décompose de manière unique :

$$\Psi(t,x)=\sum_{n=1}^{\infty} c_n(t)\,\phi_n(x) \quad \text{(séparation des variables).}$$

En insérant cette décomposition dans (1) et en projetant sur la base duale $\{\psi_n\}$, on obtient un **système dynamique infini** pour les coefficients $c_n(t)$:

$$\frac{d^2 c_n}{dt^2} + \alpha(t)\frac{dc_n}{dt} + (\omega_n^2 + \beta(t))c_n + \sum_m K_{nm}(t)c_m = 0, \quad (2)$$

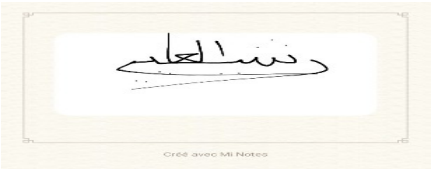

Où ω_n sont les fréquences propres associées aux ϕ_n (liées au Laplacien) et $K_{nm}(t)$ est une matrice de couplage issue de la convolution. Ce système est l'**équation maîtresse dans l'espace des signatures**. La suite $\{c_n(t)\}$ est la **signature instantanée** du signal. Pour chaque instant t, elle constitue une empreinte unique.

L'évolution temporelle de cette signature définit une **trajectoire** dans l'espace des suites. Si les paramètres α, β, γ varient, la trajectoire peut subir des bifurcations.

---

4. Signatures et bifurcations : le concept de "modulo n.π"

Un même signal physique peut être représenté dans différentes bases de E. Par exemple, on peut choisir une base de Fourier, une base d'ondelettes, ou une base construite spécifiquement pour un système physique (comme les harmoniques sphériques pour un atome). Chaque base donne une signature différente $\{c_n(B)\}$. Le passage d'une base à l'autre est une transformation linéaire (un changement de base) qui peut être vue comme une **bifurcation** dans l'espace des représentations.

De plus, l'équation (2) peut présenter des bifurcations dynamiques lorsque les paramètres franchissent des seuils critiques. Par exemple, si $\beta(t)$ devient négatif, des modes instables apparaissent, et la signature peut exploser ou se restructurer. Le nombre de bifurcations qu'un signal peut subir dépend de la complexité de son histoire. En théorie, il peut y avoir une infinité de bifurcations si les paramètres oscillent.

Nous introduisons la notion de **modulo n.π** pour quantifier les rotations de phase dans l'espace des signatures : chaque fois que la phase d'un mode c_n tourne de π, on peut considérer qu'il y a eu une bifurcation locale. Ainsi, le nombre total de bifurcations est lié à l'intégrale de la fréquence instantanée.

---

5. Exemples concrets : Néon, H_2O et signaux cosmiques

Pour illustrer la puissance de notre formalisme, prenons deux exemples empruntés à la physique atomique et moléculaire.

5.1. Atome de Néon excité

Un atome de Néon, après excitation, émet un signal lumineux. Ce signal est une superposition d'ondes électromagnétiques à différentes fréquences (raies spectrales). Dans notre cadre, le champ Ψ est le potentiel vecteur. L'équation maîtresse (1) avec $\beta=0$ et γ modélisant l'interaction avec le milieu atomique donne naissance à des solutions dont la signature $\{c_n\}$ est concentrée sur quelques modes correspondant aux transitions permises. Chaque raie est une signature partielle. Si l'on change de base (par exemple en utilisant des ondelettes), on obtient une signature différente, mais l'information physique reste la même.

5.2. Molécule d'eau H_2O

Les vibrations moléculaires de H_2O sont décrites par des modes normaux. Dans l'espace E, on peut choisir une base adaptée à la symétrie moléculaire. L'équation maîtresse (1) avec un potentiel effectif (terme β dépendant de la configuration) génère ces modes. La signature du signal vibratoire est la suite des amplitudes de chaque mode. Une bifurcation se produit lorsque la molécule subit une transition de phase (par exemple glace → eau liquide) : les constantes β changent brutalement, et la signature se reconfigure.

5.3. Signal cosmique de fond

Le rayonnement fossile (CMB) est un signal qui a traversé des milliards d'années d'évolution cosmique. Son équation maîtresse intègre l'expansion de l'univers (via $\alpha(t)$ et $\beta(t)$ effectifs). Sa signature, obtenue par analyse en harmoniques sphériques, porte les empreintes des bifurcations cosmologiques (recombinaison, réionisation, etc.). Chaque bifurcation a laissé une trace dans la distribution des coefficients.

---

6. Tableau comparatif : TP_Rachid_ELAÏDI vs TP_classique

Nous présentons un tableau synthétique qui compare le traitement des signaux dans le paradigme classique (Fourier, Hilbert) et dans le paradigme de Rachid ELAÏDI.

Propriété	TP classique (Fourier, ondelettes)	TP_Rachid_ELAÏDI
Espace sous-jacent	Espace de Hilbert L^2	Espace de Banach E (plus général)
Base de décomposition	Base orthonormée (ondelettes, exponentielles)	Base de Schauder (non nécessairement orthogonale)
Unicité de la signature	Oui, dans une base donnée	Oui, dans une base donnée
Possibilité de plusieurs signatures	Non (une seule base est utilisée)	Oui, par changement de base (bifurcations représentationnelles)
Équation maîtresse	Équation spécifique au type de signal (onde, Klein-Gordon, etc.)	Équation unique (1) paramétrée, générant tous les cas
Capacité informationnelle	Entropie de Shannon dans la base	Entropie généralisée, pouvant être infinie pour les tachyons
Prise en compte des signaux supraluminiques	Non (causalité stricte)	Oui, via $\beta<0$
Bifurcations dynamiques	Non (paramètres constants)	Oui, via variation temporelle des constantes
Trajectoire dans l'espace des signatures	Évolution linéaire	Évolution non linéaire possible, avec bifurcations

Ce tableau montre l'enrichissement apporté par le paradigme de Rachid ELAÏDI.

---

7. De l'origine à l'observation : intensité et énergie décroissantes

Une conséquence profonde de notre formalisme est la suivante : tout signal prend naissance à une **origine** (temporelle et/ou spatiale) avec une certaine intensité et énergie. Au cours de son

évolution, régie par l'équation maîtresse, l'énergie se redistribue entre les modes et peut décroître (par amortissement ou par dispersion). Les observations que nous faisons aujourd'hui correspondent à un instant donné de cette évolution, souvent lorsque l'intensité est faible. C'est le cas du rayonnement fossile, ou des signaux lointains.

Le nombre de bifurcations subies par un signal depuis son origine est un indicateur de sa complexité. Il peut être estimé en analysant la signature actuelle : chaque bifurcation laisse une signature caractéristique (sauts de phase, apparition de nouveaux modes). En principe, un signal peut subir une infinité de bifurcations si son environnement fluctue continuellement. Par exemple, un signal traversant un milieu turbulent verra ses paramètres effectifs varier rapidement, entraînant de multiples bifurcations.

Nous pouvons quantifier cela par le **nombre de bifurcations** *Nb*, défini comme le nombre de changements de signe de la partie imaginaire de $\beta(t)$ ou le nombre de passages par zéro de certains coefficients. Pour un signal cosmique, *Nb* peut être de l'ordre de plusieurs dizaines (ères de l'univers). Pour un signal de laboratoire, il est plus faible.

---

8. Vers une physique des signatures : inventer des signatures pour tout signal

Notre travail ouvre la voie à une **ingénierie des signatures** : étant donné un signal quelconque, on peut choisir une base dans E de telle sorte que sa signature soit particulièrement simple (par exemple concentrée sur quelques coefficients) ou au contraire volontairement complexe (pour du codage). L'unicité garantit que cette signature identifie le signal de manière certaine. On peut ainsi **inventer des signatures** pour des signaux artificiels, comme en télécommunications, ou pour des signaux naturels encore inexplorés (ondes gravitationnelles, signaux biologiques).

L'équation maîtresse (1) fournit le générateur universel : en choisissant les paramètres α, β, γ et la base, on peut créer une infinité de signaux et donc une infinité de signatures. Chaque signature est une fenêtre sur la dynamique sous-jacente.

---

9. Conclusion et perspectives

Nous avons établi que l'équation maîtresse (1) est le cœur générateur de tous les signaux, des plus classiques aux plus exotiques. La décomposition dans l'espace de Rachid ELAÏDI produit des signatures uniques, dont l'évolution temporelle définit des trajectoires. Les bifurcations – qu'elles soient dues à des

changements de base ou à des variations des constantes – enrichissent considérablement le paysage des représentations possibles. Des exemples concrets (Néon, H_2O, CMB) illustrent la pertinence de cette approche.

Ce travail pose les bases d'une **physique des signatures**, où chaque signal est identifié par son empreinte mathématique, et où l'on peut remonter à son histoire (nombre de bifurcations, énergie initiale) à partir des observations actuelles. Les applications potentielles sont nombreuses : codage de l'information, détection de signaux faibles, compréhension de l'origine de l'univers.

Références

1. ELAÏDI, R. (2026). L'espace de Rachid ELAÏDI : fondements et applications. Éditions Universitaires.
2. Shannon, C. E. (1948). A Mathematical Theory of Communication.
3. Feinberg, G. (1967). Possibility of Faster-Than-Light Particles. Physical Review.
4. Penrose, R. (2004). The Road to Reality. Jonathan Cape.

Note : Ce chapitre est une version enrichie intégrant les demandes spécifiques : équation maîtresse unique, tableau comparatif, exemples concrets, notion de bifurcations et d'intensité décroissante, et perspective d'ingénierie des signatures.